



تقدير التفاعلات الوراثية البيئية وتحليل ثباتية طرز وراثية من القمح الطري باستخدام طريقة GGE Biplot

Assessment of Genotype x Environment Interactions and Stability Analysis of Bread Wheat Genotypes by Using GGE Biplot Method

د. بولص اسكندر خوري ⁽²⁾

م. هبة محمد منصور ⁽¹⁾

Eng. Hiba Mohammad Mansour ⁽¹⁾

Dr. Boulos Iskander Khoury ⁽²⁾

hibamuhamedmansour@gmail.com

Received 07 January 2024; Accepted 12 March 2024

(1) طالبة دكتوراه، قسم المحاصيل الحقلية، كلية الزراعة، جامعة اللاذقية، سوريا.

(1) Ph.D. Student, Department of Field Crops, Faculty of Agriculture, Latakia University, Syria.

(2) قسم المحاصيل الحقلية، كلية الزراعة، جامعة اللاذقية، سوريا.

(2) Department of Field Crops, Faculty of Agriculture, Latakia University, Syria.

الملخص

ُاختبر 15 طرزاً وراثياً من القمح الطري (*Triticum aestivum* L.) في أربعة مواقع بيئية متباينة في سوريا خلال موسم 2020-2021؛ بهدف تقدير التفاعلات الوراثية x البيئية، تحديد الطرز الوراثية التي تجمع بين الغلة المرتفعة والتكيف الواسع بالإضافة إلى تحديد الموقع المثالي، وعلاقة الارتباط بين الواقع المختبرة. نُقدّرت التجربة في الواقع الأربع وفق تصميم القطاعات العشوائية الكاملة (R.C.B.D)، وحلّلت البيانات إحصائياً باستخدام برنامج Genstat. بيّنت نتائج تحليل التباين التجمعي وجود فروق معنوية بين كلٍ من: الطرز الوراثية المدروسة (G)، الواقع البيئية المختبرة (E)، والتفاعل بينهما (GxE). أُجري تحليل الثباتية وفق طريقة GGE Biplot باستخدام برنامج GGE Biplot المعتمد على تحليل المكونات الرئيسية (PCA)، حيث فسر المكونان الرئيسان الأول والثاني ما يقارب 87% من التباين الكلي، مما يدلُّ على كفاءة هذه الطريقة في تمثيل وتفسير التفاعلات الوراثية x البيئية. أشارت النتائج إلى تفوق السلالة المبشرة دوما 66981 وتمثيلها للطراز الوراثي المثالي الأعلى غلةً والأكثر ثباتيةً، كما أشارت النتائج إلى أن موقع الغاب هو الأقرب للموقع البيئي المثالي الممثّل لباقي الواقع والأكثر تصنيفاً للطرز الوراثية المدروسة، وإلى التشابه الكبير بين موقع حمين وحربيصون. تفيد هذه النتائج بإمكانية تحسين عملية الانتخاب واعتماد الأصناف الجديدة في المراحل الأخيرة من برامج التربية باستخدام نموذج GGE Biplot.

الكلمات المفتاحية: قمح طري، تحليل الثباتية، تفاعل وراثي x بيئي، المكونات الرئيسية، GGE Biplot.

Abstract

Fifteen genotypes of bread wheat (*Triticum aestivum* L.) were tested at four diverse locations in Syria during the 2020-2021 season, to estimate genotypes x environments interactions, determine genotypes combine high yield and wide adaptation, in addition, identify the ideal location and the relationships among the tested locations. The experiment was done in the four locations according to the randomized complete block design (R.C.B.D.), and the data were analyzed statistically using GenStat Program. The results of the combined analysis of variance showed that there were significant differences between: the studied genotypes (G), the tested locations (E), and the interaction between them (GxE). Stability analysis was conducted according to the GGE Biplot method using the GGE Biplot Program based on principal components analysis (PCA), where the first and the second principal components explained approximately 87% of the total variances; This indicates the efficiency of this method in representing and interpreting genotype x environment interactions. The results showed that the promising line Douma 66981 was significantly excelled and represented the ideal genotype with highest yield and most stability. The results also indicated: the location of Al-Ghab is the closest to the ideal location due to its ability to represent the tested sites and the discriminating ability among genotypes, the great similarity between two locations: Himmin and Hraison. These results are useful in improving the selection process and releasing new varieties in the final phases of plant breeding programs using the GGE Biplot.

Keywords: Bread Wheat, Stability Analysis, Genotype x Environment Interaction, Principal Components, GGE Biplot.

المقدمة

يُعد القمح المحصول الحبّي الأول في العالم، ويشغل الدّعامة الأساسية للإمدادات الغذائيّة لأكثر من 45% من سكان مختلف البلدان، وهو أحد أهم المنتجات الزراعية نظراً لقيمة الغذائية وتنوع منتجاته، فضلاً عن أهميته في تحقيق الأمن الغذائي والاستقرار السياسي لأي بلد (Omrani *et al.*, 2022).

من المتوقع أن تسبّب التغييرات المناخية خسارة أكثر من 20% من الإنتاج الزراعي بحلول عام 2050، وستكون هناك حاجة ماسّة لزيادة إنتاج القمح العالمي بنسبة 60% لتأمين الاحتياجات الغذائيّة المتزايدة باستمرار؛ لذلك فإنّ ضمان الحصول على إنتاج عالٍ ومستقر من القمح هو أمر بالغ الأهميّة، وتربية طرز وراثية ذات مدى واسع من التأقلم مع مختلف الظروف البيئيّة كان وما يزال أحد أصعب التحدّيات التي تواجهه مربي النبات (Dehghani *et al.*, 2008).

تهدف معظم برامج التربية إلى انتخاب الطرز الوراثية المتفوقة والمتميزة بثباتية عالية ضمن ظروف بيئية متباعدة، وغالباً ما يكون انتخابها صعباً بسبب التفاعلات الوراثية x البيئية التي تقلّل من فعالية وكفاءة الانتخاب وتحقيق التقدّم الوراثي المنشود؛ لذلك فإنّ تقدّير وتقييم هذه التفاعلات في غاية الأهميّة بالنسبة لتحسين وتطوير الأصناف النباتيّة، من

خلال تجارب البيئات المتعددة Multi-Environment Trails ولاسيما في الدورات الانتخابية الأخيرة في برنامج التربية، وبالتالي تحديد الطرز الوراثية المتفوقة التي يعتمد نجاحها على مقدار ما تعطي من غلال، وعلى مدى تأقلمها وتكيفها مع طيف واسع من البيانات البيئية (Kaya *et al.*, 2006).

إنَّ تقدير الثباتية المظهرية وتعزيز فهم التفاعلات الوراثية \times البيئية المعَّدة حفَّز الباحثين على استمرار العمل وإيجاد الطرق والمؤشرات الإحصائية التي تخدم هذا الهدف، لا سيما في منطقة حوض البحر المتوسط التي تتميز بتذبذب الظروف المطرية والتغيرات في درجات الحرارة غير المتوقعة والتي ينتج عنها تفاعلات وراثية \times بيئية عالية (Mohammadi *et al.*, 2011).

أصبحت الآن العديد من المقاييس والطرق الإحصائية متاحةً لاختبار ثباتية الطرز الوراثية عبر البيئات، وتعدُّ طريقة GGE Biplot أهمَّ هذه الطرق وأكثرها استخداماً في السنوات العشر الأخيرة، وهي أداة فعَّالة في تحليل بيانات البيئات المتعددة وتفسير التفاعلات الوراثية \times البيئية المعَّدة وتمثيلها بيانياً (Yan and Tinker, 2006).

استخدمت طريقة GGE Biplot لتحليل الثباتية وتوصيف التفاعلات الوراثية \times البيئية في تجارب البيئات المتعددة، وفهم ووصف العلاقات بين الطرز الوراثية والواقع المدروسة، وقد جرى ذلك من قبل العديد من الباحثين حول العالم (Mohammadi *et al.*, 2023; Singh *et al.*, 2019; Kader *et al.*, 2018; Alam *et al.*, 2017; Jeberson *et al.*, 2017; Rad *et al.*, 2013; Purchase *et al.*, 2000)، الذين أكَّدوا أنَّ تقييم الطرز الوراثية وتوصيف استجابتها مع مدى واسع من البيئات وتحديد الموقع المثالي للانتخاب يعُد ضروريًّا جدًّا في استراتيجيات برامج التربية وعند اعتماد الأصناف المحسنة الجديدة.

مع استمرار الأزمة في سوريا لعامها الثالث عشر، وصل انعدام الأمن الغذائي إلى مستويات غير مسبوقة، حيث يقدَّر أن 60% من السوريين يعانون من انعدام الأمن الغذائي تبعاً لبرنامج الغذاء العالمي (WFP, 2023)، لا سيما بعد خروج مساحات واسعة من مناطق إنتاج القمح في سوريا عن السيطرة وصعوبة إيصال مستلزمات الإنتاج إليها. في عام 2021 انخفض إنتاج القمح إلى نحو مليون طن بعد أن كان 2.8 مليون طن في العام الذي سبقه، وما يزيد عن 4 مليون طن سنويًّا في أعوام ما قبل الأزمة (FAO, 2021)، تزامن ذلك مع التغيُّر المناخي وتزايد موجات الجفاف شدَّةً وتواتراً، ولم تعد تفي الأصناف المحسنة منذ عقود باحتياجات المزارعين الذين يكافحون في ظل ظروف ارتفاع أسعار مدخلات العملية الإنتاجية وانخفاض معدلات الأمطار؛ مما يتطلب ضرورة العمل على تطوير طرز وراثية تميَّز بانتاجية عالية وتكييف مع مدى واسع من التغيرات البيئية، وذلك باستخدام طرق وراثية إحصائية متطورة خاصة بتحليل الثباتية.

هدف البحث إلى:

- تحديد وانتخاب الطرز الوراثية التي تجمع بين الغلة المتفوقة والثباتية العالية المختبرة في موقع بيئية متباعدة، بالإضافة إلى تحديد الطراز الملائم لكل موقع.
- تحديد الموقع البيئي الأمثل الأكثر قدرةً على تصنيف الطرز الوراثية المدروسة.

مواد البحث وطرائقه

المادة النباتية

اختبر خمسة عشر طرزاً ورائياً من القمح الطري (*Triticum aestivum* L.), منها إحدى عشرة سلالة مبشرة وأربعة أصناف معتمدة، جرى الحصول عليها من الهيئة العامة للبحوث العلمية الزراعية (GCSAR) دمشق - سوريا، ومن المركز العربي لدراسات المناطق الجافة والأراضي القاحلة (ACSAD)، الواردة في الجدول (1).

الجدول 1. الطرز الوراثية المدروسة، نسبيها وبعض صفاتها

الرمز	الطرز الوراثي	النسبة وبعض الموصفات
G1	السلالة دوما 66233	4WON-IR-257/5/YMH/HYS//HYS/TUR3055/3/DGA /4/VPM/MOS
G2	السلالة دوما 68010	VEE/PJN//2*KAUZ/3/SHUHA-4/FOW-2
G3	السلالة دوما 66241	ATTILA 50Y//ATTILA/BCN/3/PFAU/MILAN
G4	السلالة دوما 66981	SERI.1B*2/3/KAUZ*2/BOW//KAUZ/4/TEVEE'S'/BOBWHITE #1
G5	السلالة دوما 68467	ATTILA*2/PBW65//PFAU/MILAN
G6	السلالة دوما 68498	P1.861/RDWG//DAJAJ-10
G7	السلالة أكساد 1300	ACSAD 901/3/NAC/VEE'S//TEMMU196.74/TITO'S' ACS - W - 10472 (2007) - 5IZ - 11Z-11Z-01Z
G8	السلالة أكساد 1302	ACSAD 901/3/NAC/VEE'S//TEMMU196.74/TITO'S' ACS - W - 10472 (2007) - 5IZ - 11Z-21Z-01Z
G9	السلالة أكساد 1304	ACSAD 901/3/NAC/VEE'S//TEMMU196.74/TITO'S' ACS - W - 10472 (2007) - 5IZ - 11Z-31Z-01Z
G10	السلالة أكساد 1115	W3918A/JUP//NS732/Her /3/Florkwa -3 ACS – W -9523- 6IZ -1IZ- 0IZ
G11	السلالة أكساد 1147	Chat's' //KVZ/cgn /3/BAU's' /4/Karawan2 ACS - W -9669- 15IZ -1IZ - 1IZ- 0IZ
G12	الصنف بحوث 6	صنف معتمد من GCSAR ، اعتمد عام 1991 ، غلته 3.785 طن/ه
G13	الصنف دوما 4	ACSAD 529 /4/C182-24/C168.3 /3/Con*2/7C //Cc/Tob ACS - W -8024 - 14IZ - 1IZ - 3IZ -0IZ اعتمد عام 2007، غلته 2.375 طن/ه في منطقة الاستقرار الثانية في سوريا.
G14	الصنف دوما 6	Snb's//shi # 4414/crow's'/crow's'ACS - W -9678- 23IZ -2IZ -0IZ اعتمد عام 2014، غلته 4.2 طن/ه، منطقة الاستقرار الأولى.
G15	الصنف شام 6	صنف معتمد من ICARDA، اعتمد عام 1991، غلته 3.320 طن/ه

موقع تنفيذ البحث

ُنُفذَ البحث في أربعة مواقع بيئية متباعدة في سوريا هي:

- الموقع الأول: قرية حريصون الواقعة بين منطقتي (بنيامس - محافظة طرطوس) و(جبلة - محافظة اللاذقية)، إحداثياتها $35^{\circ} N, 35^{\circ} E$ ، معدل الهطول المطري السنوي (934) مم، وترتفع حوالي 10 م فوق سطح البحر.
- الموقع الثاني: في قرية درميي التابعة لمحافظة اللاذقية، تبعد 20 كم عن مدينة جبلة، إحداثياتها $35^{\circ} N, 36^{\circ} E$ ، معدل الهطول المطري السنوي (1115) مم، وترتفع 750 م فوق سطح البحر.
- الموقع الثالث: في قرية حمرين التابعة لمحافظة طرطوس، تبعد عنها 25 كم، إحداثياتها $34^{\circ} N, 36^{\circ} E$ ، معدل الهطول المطري السنوي (1018) مم، وترتفع 400 م فوق سطح البحر.
- الموقع الرابع: منطقة الغاب - محافظة حماة، تبعد عن مركز المحافظة 8 كم، إحداثياتها $35^{\circ} N, 36^{\circ} E$ ، معدل الهطول المطري السنوي (697) مم، وترتفع 190 م عن سطح البحر.

طريقة الزراعة

زرعت التجارب في الموقع الأربعة خلال موسم 2020-2021 في بداية شهر كانون أول، بثلاثة مكررات، فُلحت الأرض عميقاً من أجل التخلص من الأعشاب الضارة وبقايا المحصول السابق. قسمت الأرض إلى قطع تجريبية، وكانت مساحة القطعة التجريبية الواحدة $(1) m^2$ ؛ تضمنت كل قطعة 4 أسطر، طول السطر 1 متر، والمسافة بين سطر وأخر 25 سم، وبين نباتات وأخر 3 سم، وبين كل قطعة تجريبية وأخر 50 سم.

التحليل الإحصائي

تحليل التباين التجمعي: نُفذت التجربة في الموقع البيئية الأربعة وفق تصميم القطاعات العشوائية الكاملة (R.C.B.D)، لحساب أقل فرق معنوي (L.S.D) عند مستوى 5% بين الطرز الوراثية والموقع والتفاعل بينهما، وأجري تحليل التباين التجمعي لصفة الغلة الحبية عبر الموقع البيئية المختلفة باستخدام برنامج GenStat 12th edition للتأكد من وجود فروق معنوية بين كلٍ من الطرز الوراثية (G)، الموقع البيئية المختبرة (L)، والتفاعل بينهما (GxL).

تحليل الثباتية وفق طريقة GGE Biplot: أقترح تكنولوجيا Biplot من قبل (Gabriel, 1971) ثم طور العالم (Yan *et al.*, 2000) تقنية GGE Biplot "Genotype Main Effect (G) plus Genotype by Environment Interaction (GE)"، وهي حزمة برمجية إحصائية تفيد في تقدير حجم ونمط التفاعلات الوراثية \times البيئية وتمثيلها بيانياً بشكل مخططات ثنائية الأبعاد من خلال تحليل التباين متبوعاً بتحليل المكونات الرئيسية PCA (Principal Components Analysis)، حيث تدمج التأثيرات الوراثية (G) مع تأثيرات التفاعلات الوراثية \times البيئية (G.E)؛ ومن هنا جاءت التسمية GGE، لكنها تُحمل الأثر البيئي (E) (Yan *et al.*, 2001, 2007).

استُخدم برنامج GGE Biplot Version 7.1 المصمم من قبل العالم (Weikai Yan) لتحليل الثباتية، وفُسرت النتائج تبعاً لشرح العالمين (Yan and Kang, 2003) تبعاً لطريقة GGE Biplot.

النتائج والمناقشة

تحليل التباين التجمعي

أظهرت نتائج تحليل التباين التجمعي لصفة الغلة الحبية (طن/ه) في الجدول (2) وجود فروق معنوية بين كل من الطرز الوراثية المدروسة (G) والموقع البيئية المختبرة (E) والتفاعل بينهما (GxE)، وتدلل معنوية التفاعل الوراثي \times البيئي على عدم ثباتية الغلة وتذبذبها مع تغير الظروف البيئية وبالتالي فاعالية تحليل الثباتية (Eberhart and Russell, 1966)، كما أشارت النتائج إلى أن صفة الغلة الحبية قد تأثرت معنويًا باختلاف الطرز الوراثية المدروسة وتبابين البيئات المختبرة والتفاعلات الوراثية \times البيئية بنسبة 645%， 40%， و 15% على التوالي.

الجدول 2. تحليل التباين التجمعي Combined AN.O.VA لصفة الغلة الحبية (طن/ه) عبر المواقع البيئية المختبرة

Prob	F	MS	SS	DF	S.O.V
0.00001	27.100	0.896	12.541	14	الطرز الوراثية (Geno.)
0.00001	24.200	0.798	2.393	3	الموقع البيئية (Env.)
0.2509	1.300	0.042	0.337	8	المكررات (Rep\Env.)
0.00001	6.900	0.228	9.592	42	التفاعل الوراثي \times البيئي (GxE)
-	-	0.033	3.700	112	الخطأ التجريبي (Error)
-	-	-	28.563	179	الكلي (Total)

تحليل GGE Biplot

بيَّنت نتائج تحليل GGE Biplot في الجدول (3) أن المكونين الأساسيين الأول والثاني (PCA₂، PCA₁) كانوا معنويين، وفَسَّرَا معاً ما يقارب 87% من التباين الكلي، وبالتالي فإنَّ تحليل GGE Biplot كان فعَّالاً في تمثيل وتفسير البيانات الموجودة بكل موثوقية وفعالية (Yang *et al.*, 2009; Yan and Holland, 2010).

يُستخدم تحليل المكونات الرئيسية (PCA) من قبل الباحثين ومربي النبات في تفسير وتحليل بيانات التجارب التي يجري فيها جمع قدر كبير من البيانات وللعديد من المتغيرات كما في تجارب البيئات المتعددة؛ لذا يحتاج مربو النبات إلى أسلوب إحصائي يساعد في اختصار البيانات والمتغيرات، ومن هنا تبرز أهمية تحليل المكونات الرئيسية لاختزال وتلخيص أكبر قدر ممكن من البيانات وتحويلها إلى مجموعة أصغر بكثير من المتحولات المستقلة تدعى بالمكونات الرئيسية (Smith, 2002).

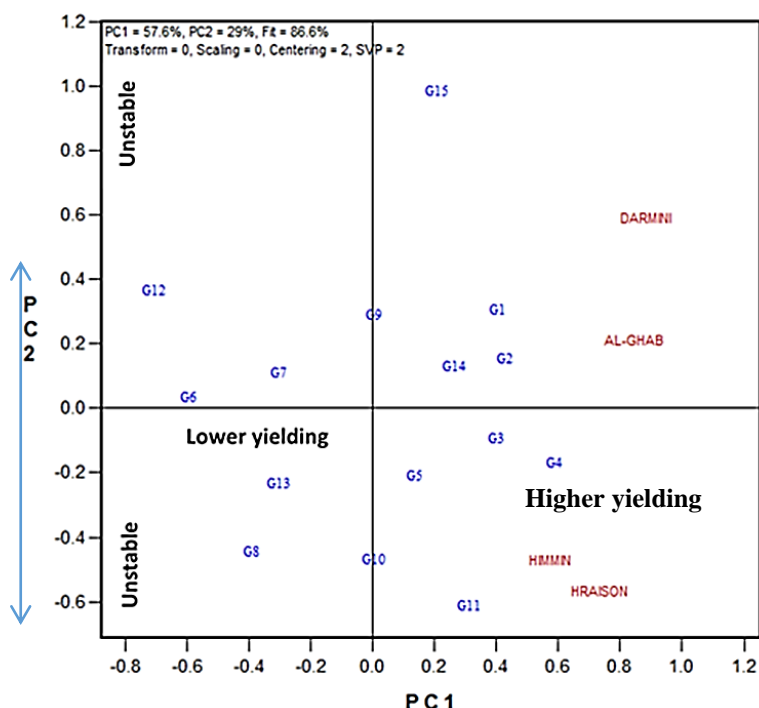
الجدول 3. تحليل GGE Biplot لصفة الغلة الحبية طن/ه

Accumulate of Total SS	% of Total SS	Singular Value	PCA
57.6	57.6	2.061	1
86.6	29	1.462	2
95	8.4	0.787	3
100	5	0.608	4

الشكل 1. مخطط GGE Biplot للطرز الوراثية المدروسة والموقع البيئية المختبرة

جرى تمثيل بيانات GGE Biplot بيانيًا في الشكل (1) لتقييم الطرز الوراثية المدروسة، وتظهر قيم PCA_1 و PCA_2 لكل طرز وراثي مدروس، حيث تُعرف الطرز الوراثية التي تمتلك قيم $PCA_1 > 0$ (أكبر من الصفر) بأنها عالية الغلة، والطرز التي تمتلك قيم $PCA_1 < 0$ (أصغر من الصفر) بأنها منخفضة الغلة؛ بينما تشير قيم PCA_2 المنخفضة (بالقيمة المطلقة) إلى ثباتية واستقرار الطرز الوراثي، وبذلك قُسمت الطرز الوراثية المدروسة إلى مجموعات اعتمادًا على قيم PCA_1 و PCA_2 :

المجموعة الأولى: تضم الطرز الوراثية ذات قيم $PCA_1 > 0$ وقيم PCA_2 القريبة من الصفر وهي (G1، G2، G4، G3، G5، G14) وتمثّل الطرز الوراثية المرغوبة من قبل مربي النباتات كونها تجمع بين الغلة المرتفعة والثباتية العالية، أما المجموعة الثانية فضمت الطرز منخفضة الغلة ($PCA_1 < 0$) وانخفاضه الثباتية ($PCA_2 > 0$) وهي: (G8، G9، G6، G7، G13، G12، G10، G11)، المجموعة الثالثة: الطرز الوراثية عالية الغلة (أعلى من المتوسط العام) لكنها منخفضة الثباتية (G15، G1)، المجموعة الرابعة: الطرز الوراثية منخفضة الغلة عالية الثباتية (G6، G7) كما يظهر في الشكل (1) أن قيم PCA_1 للموقع البيئية المختبرة كانت جميعها موجبة ($PCA_1 > 0$)، مما يشير إلى أن المكون الرئيس الأول PCA_1 يمثل التباينات الوراثية النسبية للغلة الحبية عبر البيئات، ويدلُّ على أن التفاعل بين هذه المواقع كان من النمط Non-crossover، بمعنى أن الطرز الوراثية الأعلى غلةً تباينت من بيئه إلى أخرى إلى حدٍ ما.



الشكل 1. مخطط GGE Biplot للطرز الوراثية المدروسة والموقع البيئية المختبرة

التراتيب المفضّلة لكل بيئه: "Which Won Where or Which is Best for What"

تعد ميزة "Which Won Where" (الشكل 2) واحدة من أهم مزايا وسمات التمثيل البياني وفق تقانة الـ GGE Biplot التي تعالج وتوضح بيانيًا الطرز الوراثية الأكثر تكيفًا مع بيئه معينة (التكيف الخاص)، بالإضافة إلى إمكانية تقسيم المنطقة المستهدفة

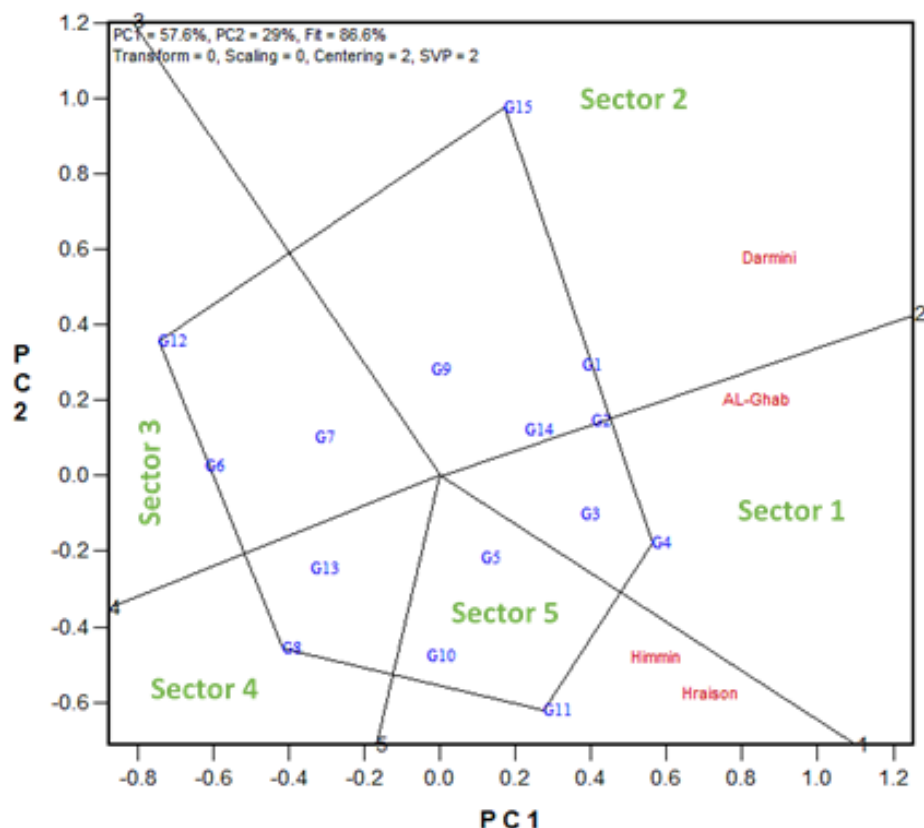
إلى بيانات كبرى. من خلال الوصل بين النقاط الأبعد عن نقطة الأصل في مخطط Biplot GGE (موقع الطرز الوراثية الأبعد عن مركز الـ Biplot) يجري رسم مضلع (Polygon) بحيث تصبح نقاط جميع الطرز الوراثية الأخرى متضمنة داخل المضلع، والخطوط المارة من نقطة الأصل (مركز المخطط) والعمودية على كل ضلع من أضلاع الـ Polygon تقسمه إلى عدة قطاعات Sectors، وبالتالي هو مخطط مهم جداً للكشف عن احتمال وجود بيانات كبرى مختلفة في منطقة معينة (Yan *et al.*, 2007).

قسمت الأشعة المارة من نقطة الأصل العمودية على أضلاع المخطط Polygon إلى 5 قطاعات Sectors، والموقع البيئية المختبرة في هذا البحث وقعت ضمن 3 قطاعات منها فقط كما يظهر في الشكل (2): القطاع الأول (Sector 1) ضمّ موقع الغاب فقط، القطاع الثاني (Sector 2) ضمّ موقع درميوني، القطاعين الثالث والرابع (Sector 3+4) لم يتضمنا أي موقع، وأخيراً القطاع الخامس (Sector 5) ضمّ موقعي حمين وحربيصون (Himmin + Hraison)، وجود الموقع البيئية المختبرة ضمن قطاعات مختلفة يدلّ ويؤكّد على تباين واختلاف هذه المواقع بيئياً، لكنَّ هذا التقسيم يحتاج إلى المزيد من التحقّق والتمحيص من خلال تجارب متعددة السنوات والموقع في المنطقة المستهدفة (Kaya *et al.*, 2006).

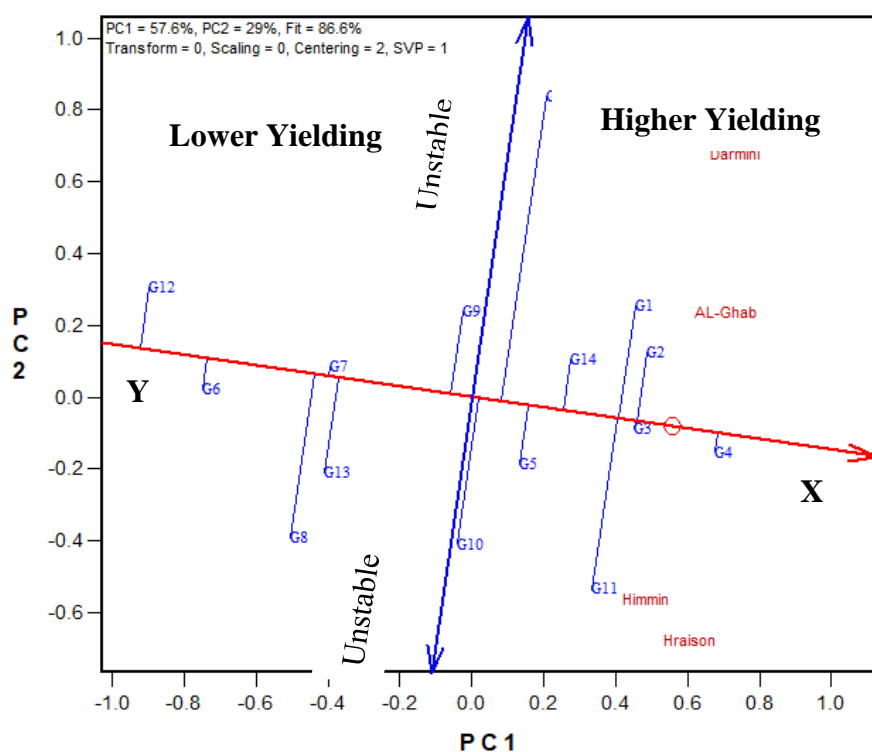
بالإضافة إلى ذلك توجد ميزة أساسية لهذا المخطط هي أن رؤوس المضلع (Polygon Vertex) تمثل الطرز الوراثية المتفوقة (الأعلى غلةً) أو الأدنى غلةً في جميع المواقع البيئية الواقعة ضمن هذا القطاع (إما الأفضل على الإطلاق أو الأدنى) Yan and Kang, 2003; Yan, 2002)، بناءً على ذلك يلاحظ من المخطط تفوق الطرز الوراثي G15 (الصنف شام 6) في موقع درميني، الطرز G4 (السلالة دوما 66981) في موقع الغاب، و G11 (السلالة أكساد 1147) في كل من حربصون وحمين؛ لوقوع هذه الطرز على قمم أو رؤوس المضلع، وهي الطرز الأعلى غلةً بين الطرز الوراثية الواقعة في القطاع نفسه، بينما كانت الطرز الوراثية G12، G6، و G8 غير ملائمة لأي موقع من المواقع البيئية المختبرة كونها تقع في منطقة من المخطط خالية من أي بيئية، كما يدل ذلك على أن هذه الطرز هي الأفقر والأدنى غلةً.

تتب الطز الوداية تعاً لمتوسط الغلة الحبة والثباتية

رُبّت الطرز الوراثية تبعًا لمتوسط غلتها الحبية وثباتية أدائها عبر المواقع البيئية المختلفة وفق طريقة محور متوسط البيئة (Average Environment Coordination = AEC) حسب (Yan, 2002). وفق هذه الطريقة يعرف متوسط البيئة بأنه متوسط PCA₁ و PCA₂ لجميع البيانات المختبرة، ويُمثّل في المخطط بدائرة صغيرة (الشكل 3). والخط الواسط بين نقطة الأصل وهذه الدائرة يسمّى محور متوسط البيئة ويعتبر ممثّلاً لمحور X-السينات (AEC abscissa)، أما الخط المار من نقطة الأصل والعمودي على محور السينات (AEC abscissa) يمثّل المحور الصادي أو محور Y-العينات (AEC ordinate)، وهو على عكس محور السينات له اتجاهان وكل منهما يشير إلى انخفاض الثباتية ومساهمة أكبر للطراز الوراثي في التفاعلات الوراثية x البيئية (بعيدًا عن نقطة الأصل). بالنسبة إلى الطرز الوراثية المدروسة كلما كان مسقط الطراز الوراثي على محور AEC abscissa أطول أي بعد عن نقطة الأصل باتجاه السهم دلّ ذلك على متوسط غلة حبية أعلى، وكلما كان مسقط الطراز الوراثي على محور AEC ordinate أقصر (أي أقرب إلى نقطة الأصل) دلّ ذلك على ثباتية أعلى، وبالتالي فإن أفضل الطرز الوراثية المدروسة هو G4 يليه G3، G2، G1، G11، G14، G5، كما يظهر في الشكل (3)، ويجري استبعاد جميع الطرز الوراثية الواقعة في القسم الأيسر من المخطط كونها منخفضة الغلة الحبية (G13، G7، G8، G6، G12).

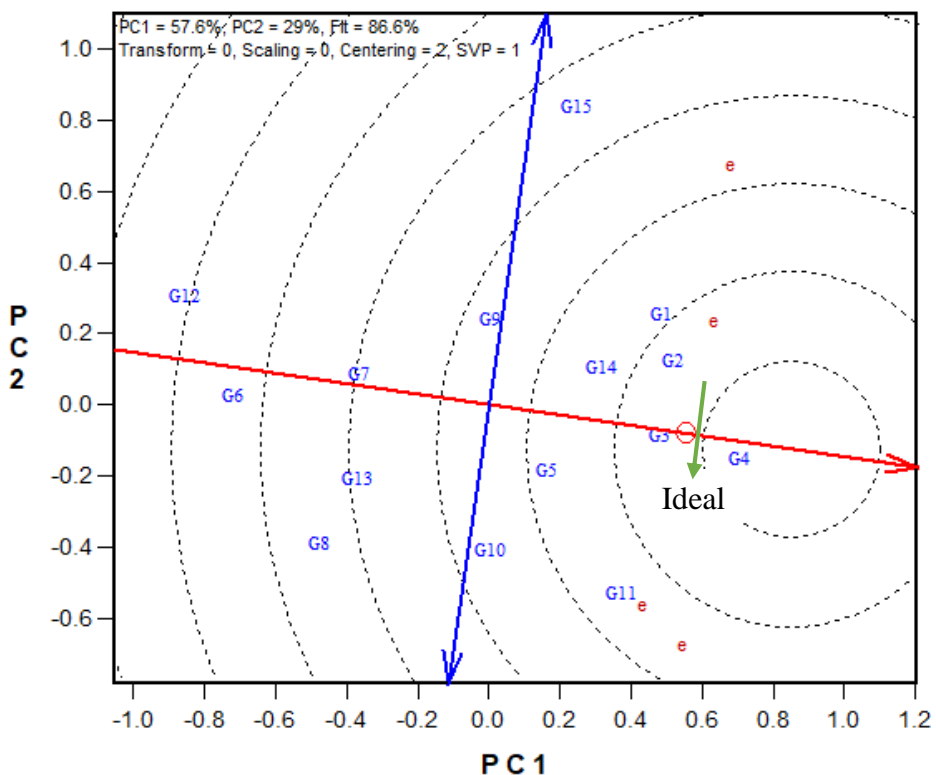


الشكل 2. الطرز الوراثية المفضلة لكل موقع بيئي مختبر



الشكل 3. ترتيب الطرز الوراثية تبعاً لمتوسط غلتها الحبية وثباتية أدائها

ترتيب الطرز الوراثية تبعاً لقربها من موقع الطراز الوراثي المثالي بوضوح الشكل (4) بعد الطرز الوراثية المدروسة عن موقع الطراز الوراثي المثالي في مركز الدوائر متعددة المركز، الطراز الوراثي المثالي "ideal entry = ideal genotype" لابد أن يكون الأعلى غلةً بين الطرز الوراثية المدروسة وبكل تأكيد الأكثر ثباتيةً واستقراراً (Yan and Tinker, 2006)، مثل هذا الطراز نادراً ما يكون موجوداً في الواقع؛ إلا أنه يمكن أن يستخدم كمراجع أو كمعايير (قيمة معيارية افتراضية) لتقدير الطرز الوراثية المدروسة بناءً على بعدها عنه، ويساعد في تمثيل وإظهار المسافات بين الطرز الوراثية المدروسة والطراز المثالي، وبالتالي تحديد الطراز الوراثي المرغوب من قبل مربي النباتات وهو الطراز الأكثر قرباً من هذا الموقع، بناءً على فإن الطراز الوراثي G4 هو الطراز المرغوب كونه الأقرب إلى موقع الطراز الوراثي المثالي، بينما يبعد الطراز G12 الأبعد عن المثالية.



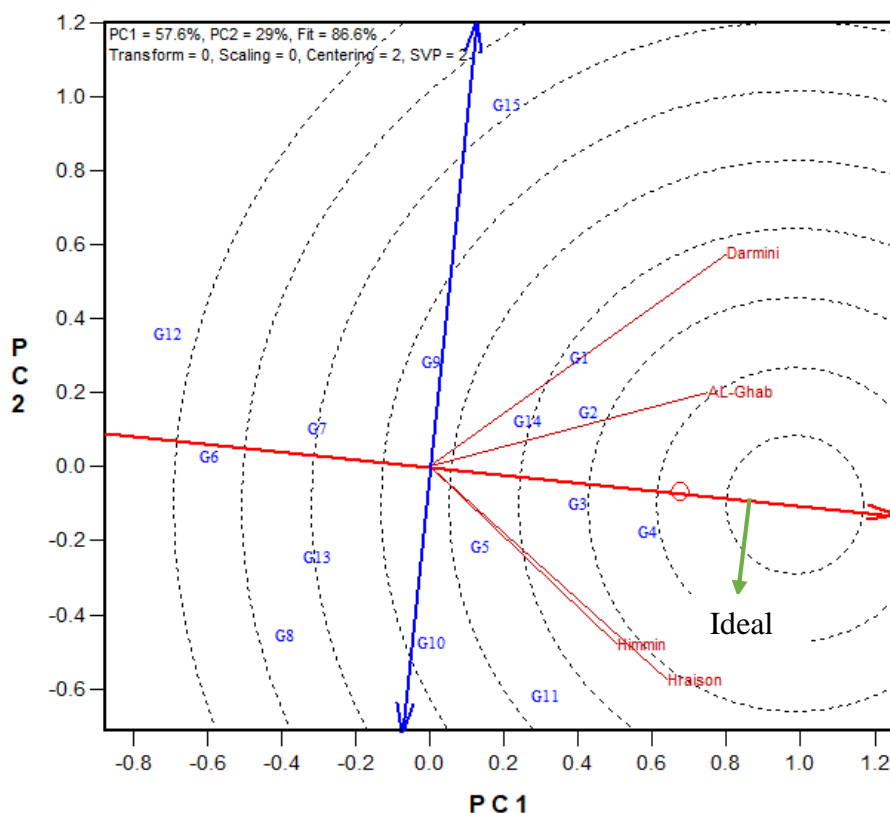
الشكل 4. بعد الطرز الوراثية المدروسة عن موقع الطراز الوراثي المثالي

تقييم الواقع البيئية المختبرة تبعاً للقدرة التصنيفية والتمثيلية

يمكن من خلال تحليل GGE Biplot تحديد خصائص وميزات الواقع البيئية المختبرة، حيث يفيد في تحديد البيئة الأكثر تصنيفاً وتميزاً للطرز الوراثية المدروسة (discriminating ability = informative) وهي البيئة التي يكون شعاعها (الخط الواصل بين موقع البيئة على المخطط ونقطة الأصل) أطول ما يمكن، أي أن طول شعاع البيئة يُعد مقيماً لقدرة البيئة على تصنيف الطرز الوراثية المدروسة وتزويدنا بمعلومات أكثر عنها والتباينات فيما بينها، وبذلك يُعد موقع درميبي الأكثريميبياً بين الواقع المختبرة؛ لأن شعاعه هو الأبعد عن مركز المخطط، وموقع حمين أقرباً كما يظهر في الشكل (5)، مما يدل على أن خصائص موقع درميبي (البيئية والمناخية) كانت مفيدة في الكشف عن كامل صفات

وخصائص الطرز المدروسة وغربلتها، ويُزود بمعلومات كافية ودقيقة عن أداء كل طراز وراثي وبالتالي يساعد في الانتخاب للتكيف الخاص (Yan and Rajcan, 2002).

يفيد تحليل GGE Biplot أيضاً في تحديد البيئة الأكثر تمثيلاً (Representativeness Ability) للموقع المختبرة، وهي البيئة التي يكون متوسط الغلة الحبية فيها مساوياً تقريباً للمتوسط العام عبر البيئات، وتحدد هذه البيئة من خلال مقدار الزاوية المحصورة بين شعاع البيئة ومحور متوسط البيئة AEC abscissa، كلما صغرت هذه الزاوية زادت قدرة البيئة على تمثيل باقي البيئات المختبرة في المنطقة المستهدفة والعكس صحيح، وهذا فإن موقع الغاب هو الموقع الأكثر تمثيلاً للموقع المختبرة (الشكل 5)، أما الموقع البيئي المثالي (Ideal Location = Ideal Tester) يجب أن يكون الأكثر تمثيلاً والأكثر تمثيلاً، ويمثل على المخطط بمركز الدوائر المتحدة المركز (Yan and Kang, 2003)، والموقع البيئي المختبر المفضل هو الأقرب لهذا المركز؛ لذلك يُعدُّ موقع الغاب الموقع الأفضل والأقرب للمثالية بين المواقع المختبرة في هذا البحث؛ كونه الأقرب لمركز هذه الدوائر كما يظهر في الشكل (5).



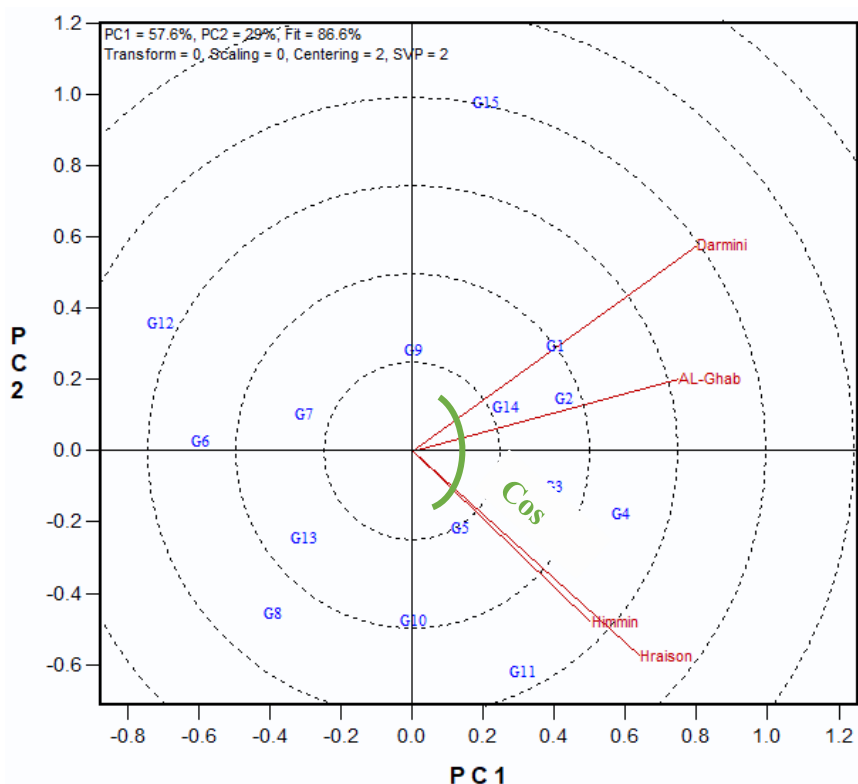
الشكل 5. ترتيب المواقع البيئية المختبرة

العلاقات بين المواقع البيئية المختبرة

يوضح الشكل (6) العلاقات بين المواقع البيئية المختبرة من خلال قياس Cosine الزاوية المحصورة بين الشعاعين الممثلين لأي موقعين، لأن Cosine الزاوية بين شعاعي أي بيئتين يقابل قيمة الارتباط بينهما (Yan *et al.*, 2000).

إن تحديد العلاقات بين البيئات يفيد في إمكانية الانتخاب غير المباشر؛ أي: الانتخاب على أساس الأداء المظاهري للطرز الوراثية في إحدى البيئتين المرتبطةين وتعظيم النتائج على البيئة الأخرى، وبالتالي إمكانية حذف بعض المواقع المختبرة، لا سيما إذا كان التشابه أو الارتباط بينهما متكرراً خلال السنوات؛ مما يفيد في تقليل النفقات والتكاليف وزيادة كفاءة وجدوى برامج التربية (Kaya *et al.*, 2006).

يلاحظ من الشكل (6) أنَّ الزاوية بين شعاعي درمي وحربيصون هي الأكبر (90°)، وبالتالي التشابه بينهما صفر، بينما كان موقعاً حمي وحربيصون الأكثر ارتباطاً، والزاوية المحصورة بين شعاعيَّهما تكاد تكون معدومة، وبالتالي يمكن الاستغناء عن أحد هذين الموقعين والاكتفاء بالآخر في عمليات تقييم الطرز الوراثية واعتمادها في المراحل الأخيرة من برامج التربية.



الشكل 6. العلاقات بين المواقع البيئية المختبرة

الاستنتاجات والتوصيات

الاستنتاجات

- وجود تفاعلات وراثية \times بيئية ذات تأثيرات معنوية على أداء الطرز الوراثية المدروسة واختلاف ترتيبها عبر المواقع البيئية المختبرة.

- فاعلية تحليل الثباتية وفق طريقة GGE Biplot وأهميتها في تمثيل وتفسير التفاعلات الوراثية \times البيئية.

- تفوق الطرز الوراثي G4 (السلالة المبشرة دوما 66981) على جميع الطرز الوراثية المدروسة، وهو الأقرب للطراز المثالي، الذي يجمع بين الغلة المتفوقة والثباتية العالية عبر جميع المواقع المختبرة.

- اعتبار موقع الغاب يليه موقع درميوني مماثل للانتخاب لصفة الغلة الحبية والتكيف مع الظروف البيئية المتباينة.
- الارتباط والتشابه الكبير بين موقع حريصون وحمين يتيح إمكانية الاستغناء عن أحدهما في تجارب المراحل الأخيرة من برامج تربية واعتماد الأصناف المحسنة الجديدة.

التصنيفات

زراعة الطرز الوراثية المدروسة في الواقع البيئية المختبرة لعدة مواسم؛ للتأكد من نمط التفاعلات الوراثية \times البيئية وتكراره عبر السنوات، وبالتالي إمكانية تقسيم المنطقة المستهدفة إلى عدة قطاعات بيئية متباينة.

المراجع

- Alam, M. A., M. Farhad., M.A. Hakim., N.C.D. Barma., P.K. Malaker., M.M.A. Reza., M. Hossain. and M. Li. 2017. AMMI and GGE biplot analysis for yield stability of promising bread wheat genotypes in Bangladesh. *Pakistan Journal of Botany*, 49(3), 1049-1056.
- Dehghani, H., H. Omidi. and N. Sabaghnia. 2008. Graphic analysis of trait relations of rapeseed using the biplot method. *Agronomy Journal*, 100(5), 1443-1449.
- Eberhart S.A. and W.A. Russell. 1966. Stability parameters for comparing varieties. *Crop Science*, 6(n/a), 36-40.
- FAO. 2021. Special report: 2021 FAO Crop and Food Supply Assessment Mission to the Syrian Arab Republic - December 2021. Rome. <https://doi.org/10.4060/cb8039en>. (Accessed on 26/5/2023).
- Gabriel, K.R. 1971. The biplot graphic display of matrices with application to principal component analysis. *Biometrika*, 58(3), 453-467.
- Jeberson, M. S., L. Kant., N. Kishore., V. Rana., D.P. Walia. and D. Singh. 2017. AMMI and GGE biplot analysis of yield stability and adaptability of elite genotypes of bread wheat (*Triticum aestivum* L.) for Northern Hill Zone of India. *International Journal of Bio-resource and Stress Management*, 8(5), 635-641.
- Kadir, M., Y. Musa., A. Nur., R. Efendi. and K. Syahruddin. 2018. GGE-biplot analysis of yield stability in environment trial of tropical wheat (*Triticum aestivum* L.) genotype under dry season in Indonesia. *Research on Crops*, 19(4), n/a.
- Kaya Y. M., M. Akcurra. and S. Taner. 2006. GGE-biplot analysis of multi-environment yield trials in bread wheat. *Turkish Journal of Agriculture and Forestry*, 30(5), 325-337.
- Mohammadi R., D. Sadeghzadeh., M. Armion. and A. Amri. 2011. Evaluation of durum wheat experimental lines under different climate and water regime conditions of Iran. *Crop and Pasture Science*, 62(2), 137-151.

- Mohammadi, R., J. Jafarzadeh., M. Armion., H. Hatamzadeh. and E. Roohi. 2023. Clustering stability methods towards selecting best performing and stable durum wheat genotypes. *Euphytica*, 219(10), 109.
- Omrani, A., S. Omrani., M. Khodarahmi., S.H. Shojaei., A. Illés., C. Bojtor., S.M.N. Mousavi. and J. Nagy. 2022. Evaluation of grain yield stability in some selected wheat genotypes using AMMI and GGE biplot methods. *Agronomy Journal*, 12(5), 1130.
- Purchase, J. L., H. Hatting. and C.S. Van Deventer. 2000. Genotype \times environment interaction of winter wheat (*Triticum aestivum* L.) in South Africa: II. Stability analysis of yield performance. *South African Journal of Plant and Soil*, 17(3), 101-107.
- Rad, M.N., M.A. Kadir., M.Y. Rafii., H.Z. Jaafar., M.R. Naghavi. and F. Ahmadi. 2013. Genotype environment interaction by AMMI and GGE biplot analysis in three consecutive generations of wheat (*Triticum aestivum* L.) under normal and drought stress conditions. *Australian Journal of Crop Science*, 7(7), 956-961.
- Singh, C., A. Gupta., V. Gupta., P. Kumar., R. Sendhil., B.S. Tyagi., G. Singh., R. Chatrath. and G.P. Singh. 2019. Genotype \times environment interaction analysis of multi-environment wheat trials in India using AMMI and GGE biplot models. *Crop Breeding and Applied Biotechnology*, 19(30), 309-318.
- Smith, L. I. 2002. A Tutorial on Principal Components Analysis.
- WFP. 2023. WFP Syrian Arab Republic External Situation Report, Report #3, March 2023. Available at: <https://www.wfp.org/publications/Syria>. (Accessed on 12/12/2023).
- Yan, W. 2002. Singular value partitioning for biplot analysis of multi-environment trial data. *Agronomy Journal*, 94(5), 990-996.
- Yan, W. and J.B. Holland. 2010. A heritability-adjusted GGE biplot for test environment evaluation. *Euphytica*, 171(3), 355-369.
- Yan, W. and M.S. Kang. 2003. GGE Biplot Analysis: A Graphical Tool for Breeders, Geneticists, and Agronomists. CRC Press, Boca Raton.
- Yan, W. and I. Rajcan. 2002. Biplot analysis of test sites and trait relations of soybean in Ontario. *Crop Science*, 42(1), 11-20.
- Yan, W. and N.A. Tinker. 2006. Biplot analysis of multi-environment trial data: Principles and applications. *Canadian Journal of Plant Science*, 86(3), 623-645.
- Yan, W., L.A. Hunt., Q. Sheng. and Z. Szlavnics. 2000. Cultivar evaluation and mega-environment investigation based on GGE biplot. *Crop Science*, 40(3), 597-605.

- Yan, W., M.S. Kang., B. Ma., S. Woods. and P.L. Cornelius. 2007. GGE biplot vs. AMMI analysis of genotype-by-environment data. *Crop Science*, 47(2), 643-653.
- Yang, R.C., J. Crossa., P.L. Cornelius. and J. Burgueno. 2009. Biplot analysis of genotype 9 environment interaction: proceed with caution. *Crop Science*, 49(5), 1564-1576.

N° Ref: 1162